

Ch. 7 Charged Surface

- Colloid solid dispersion

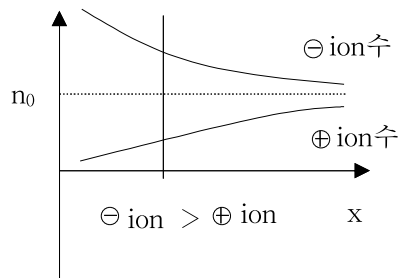
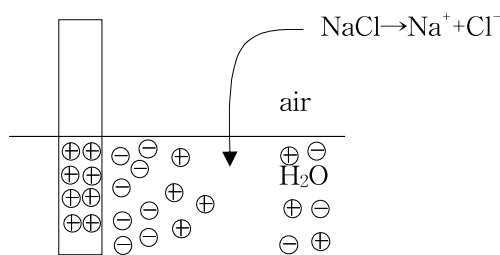
① 분산의 driving force : 입자간 정전기적 반발력(V_R)

② 입자의 aggregation force : 입자간 van der waals force(V_A)

$V_R > V_A \Rightarrow$ stabilize $V_R < V_A \Rightarrow$ aggregation

- H_2O 내에서 solid particle

- 1) 표면의 ion화
 - 2) Ion의 흡착
 - 3) Ion dissolution



by Boltzman Eq.

$$n_+ = n_0 \exp\left(-\frac{ze\Psi}{kT}\right)$$

n+: 단위 부피당 +ion 수

e: electric charge unit(constant) E/E₀

n0: 단위 부피 당 NaCl의 분자수

ψ : electric potential

z: ion의 valency

$$n_- = n_0 \exp\left(-\frac{ze\psi}{kT}\right)$$

net volume charge density

$$\rho = ze(n_+ - n_-) = ze\{n_0 \exp(-\frac{ze\psi}{kT}) - n_0(+\frac{ze\psi}{kT})\} = -2zen_0 \sinh(\frac{ze\psi}{kT})$$

by Poisson Eq.

$$\frac{d^2\Psi}{dx^2} = -\frac{\rho}{E} \quad \frac{d^2\Psi}{dx^2} = \frac{2ze n_0}{E} \sinh \frac{ze\Psi}{kT}$$

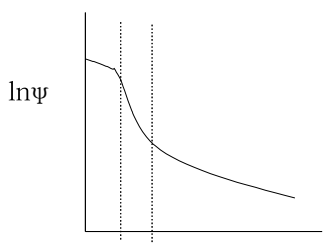
E : permittivity(constant)

boundary condition

$$\psi = \psi_0 \quad \text{at } x=0$$

$$\psi = 0 \quad \text{or} \quad \frac{d\psi}{dx} = 0 \quad \text{at } x = \infty$$

$$\Psi = \frac{2kT}{ze} \ln \left[\frac{1+y \exp(-kT)}{1-y \exp(-kT)} \right] \quad y = \frac{\exp(\frac{ze\Psi_0}{2kT}) - 1}{\exp(\frac{ze\Psi_0}{2kT}) + 1} \quad k = \left[\frac{2e^2 n_0 z^2}{EkT} \right]^{\frac{1}{2}}$$

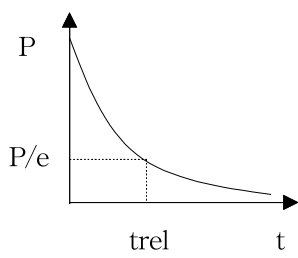
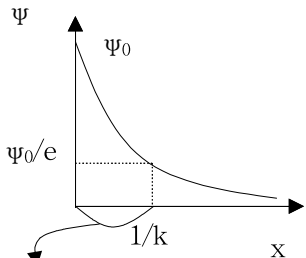


$$\text{if, } \frac{ze\psi_0}{2kT} \ll 1.0$$

$$\exp\left(\frac{ze\psi_0}{2kT}\right) = 1 + \frac{ze\psi_0}{2kT}$$

$$\therefore \psi = \psi_0 \exp(-kT)$$

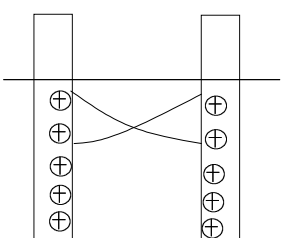
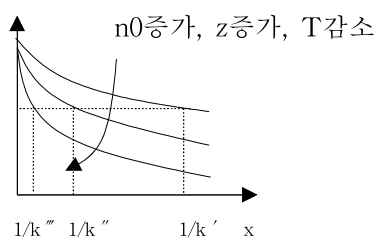
$$\frac{ze\psi_0}{2kT}$$



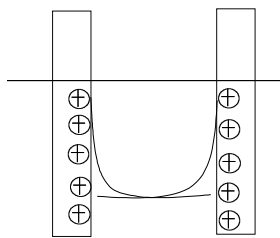
effective double layer thickness (Debye-Hückel length)

$$k = \left[\frac{2e^2 n_0 z^2}{EkT} \right]^{1/2}$$

$$n_0 \uparrow, z \uparrow, T \downarrow \Rightarrow k \uparrow \Rightarrow 1/k \downarrow, \psi/e$$



느리게 가라앉음



빨리 가라앉음

- Spherical

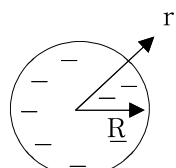
$$\nabla^2 \psi = -\frac{1}{r^2} \frac{d}{dr} \left(r^2 \frac{d\psi}{dr} \right)$$

$$\frac{d^2 \psi}{dr^2} = \frac{2ze n_0}{E} \sinh \frac{ze\psi}{kT}$$

$$\text{B.C.1 } \psi = \psi_0 \quad \text{at } r=R$$

$$\psi = 0 \quad \text{at } r=\infty$$

$$\psi = \psi_0 \frac{R}{r} \exp(-K(r-R))$$



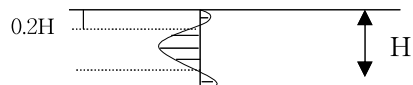
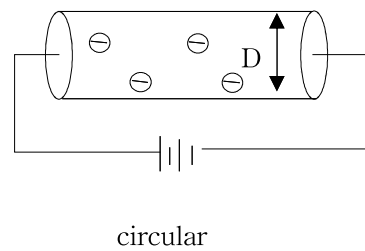
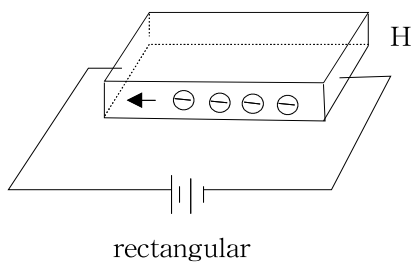
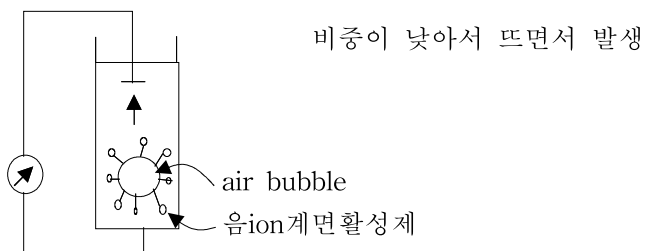
- Electro Kinetic Phenomena

① Electrophoresis(전기영동) : 주어진 외부전압하에서 전하를 띤 콜로이드 입자(무기, 유기, 고분자, 단백질)들이 움직이는 현상

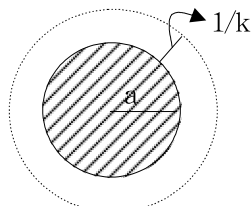
② Electro-osmosis : 외부전압에 의하여 전하를 띤 표면을 따라 ion을 함유한 용액이 흐르는 현상

③ Streaming potential : stationary charged surface를 따라 ion을 함유한 유체를 흐르게 할 때 발생되는 전압
⇒ 강제로 흐르게 하면 potential 생김

④ Sedimentation potential : charged particle을 액체내부에서 강제로 흐르게 할 때 발생되는 전압



• Zeta-potential (ζ -potential)



shear surface : 입자는 항상 유체층을 갖고 움직인다

shear surface의 potential을 ζ -potential이라 함

① Hukel Eq. ($Ka \ll 1.0$, non-conducting particle)

$$Ka = \frac{a}{\frac{1}{k}} = -\text{입자의 반경}/(\text{effective double layer thickness})$$

a : 小

$1/k$: 大 \Rightarrow 입자 size가 작고 천천히 drop

$$Q_E \cdot E = 6\pi\eta a V_E = F (\text{by stoke's law})$$

Q_E : net charge of particle surface

E : electric field strength

η : 용액의 점도

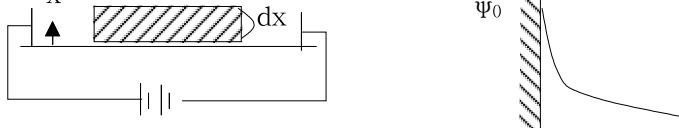
V_E : 입자의 이동속도

$$u_E = \frac{V_E}{E} = \frac{QE}{6\pi\eta a} = \text{electrophoretic mobility}$$

$$\zeta = \frac{Q_E}{4\pi E a} - \frac{Q_E}{4\pi E(a+1/k)} = \frac{Q_E}{4\pi E a(1+k)} \quad \text{if } Ka \ll 1.0 \quad (\text{대개 } 0.1\mu\text{m} \text{ 하 } \text{ 입자에 } \text{겐 적용된 } \text{다})$$

$$\therefore u_E = \frac{4\pi E a \zeta}{6\pi \eta a} = \frac{\zeta E}{1.5 \eta} \quad \text{입자 surface potential } \uparrow, \text{ 입자간 반발력도 } \downarrow$$

② Smoluchowski ($Ka \gg 1.0$, non-conducting particle)



plate로 가정

differential segment의 unitwidth에서 force balance

$$E\rho dx \cdot 1 = [\eta \frac{dV}{dx}]_{x+dx} - [\eta \frac{dV}{dx}]_x dx$$

since $\rho = -\frac{d}{dx} [E \frac{d\psi}{dx}]$ $-E \frac{d}{dx} [E \frac{d\psi}{dx}] = \frac{d}{dx} [\eta \frac{dV}{dx}]$

적분 $-EE \frac{d\psi}{dx} = \eta \frac{dV}{dx} + C_1$ (\because at $x=\infty$, $\frac{d\psi}{dx} = \frac{dV}{dx} = 0$)

적분 $-EE\psi = \eta V + C_2$ B.C. $\psi=0, V=0$ at $x=\infty$

$\psi = \zeta, V = -V_E$ at shear surface

$$-EE\psi = \eta V \quad \therefore u_E = \frac{V_E}{E} = \frac{\zeta E}{\eta}$$

③ Hery Eq. (for conducting as well as non-conducting particle)

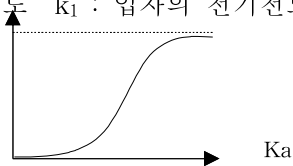
$$u_E = \frac{\zeta E}{1.5 \eta} [1 + \lambda F(Ka)]$$

: 전도성이 아주 좋은 용액의 입자는 전기를 통해도 입자 움직이지 않는다

$$\lambda = \frac{k_0 - k_1}{2k_0 + k_1} \quad k_0 : \text{용액의 전기전도도} \quad k_1 : \text{입자의 전기전도도}$$

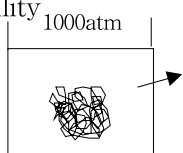
for non-conducting particle $\lambda = 1/2$

if $k_1 = \infty$ (전기전도도 high) $\lambda = -1$



Chap. 8. Colloidal Stability

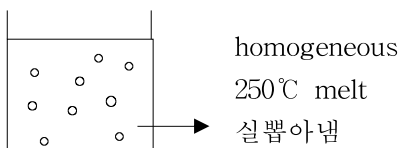
① Sludge 처리



입자사이에 $H_2O : 80\%$

Clay, 미생물 : 20%

② Polyester



homogeneous

250°C melt

실糟아냄

- Aggregate 형성

Driving force : vander waals' attractive force (V_A)

Against force electrostatic repulsive force (V_R)

steric hindrance by polymer
solvation force

- Critical coagulation concentration (CCC)

① salt : particle surface의 electrical property 변화 \Rightarrow 입자간 V_R 의 변화

② CCC: colloid 분산계에서 colloid 입자들을 aggregation시키는데 필요한 salt의 농도

$$V_{\text{total}} = V_A + V_R$$

- Interaction Energy=van der waals' attractive interaction energy

- electrostatic repulsive energy

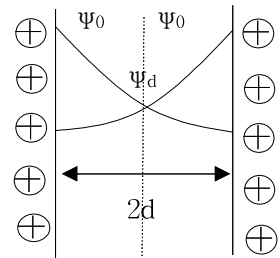
$$\text{cf) } \frac{dE}{dx} = F \quad w = F dx = dE$$

* for flat plate

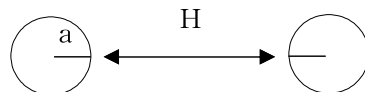
오른쪽 fixed, 왼쪽 \leftarrow : 무한대 거리로부터 2d거리까지
가져오는데 하는 일

왼쪽 " , 오른쪽 \rightarrow : " "

$$G_d = w = - \int_{\psi_d}^{\psi_\infty} \rho d\psi \quad \rho = ze(n^+ - n^-) \quad V_R = 2G_d$$



for spherical particle



$$V_R = 2\pi E \psi_d^2 \exp(-\kappa H)$$

van der waals attractive energy

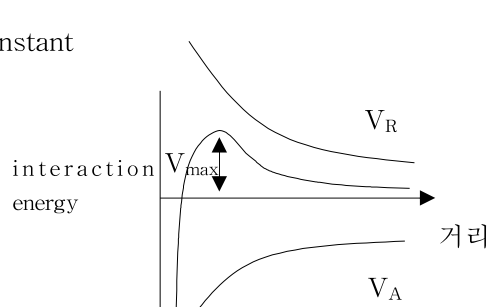
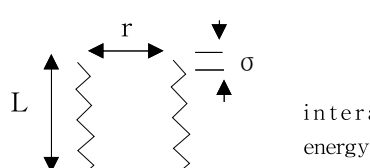
$$w = - \frac{C}{r^6}$$

atom atom

$$V_A = - \frac{Aa}{12H}$$

polymer chain

$$V_A = - \frac{3\pi AL}{8\sigma^2 r^5}$$



$V_{\max} > kT \Rightarrow$ stable dispersion

$V_{\max} < kT \Rightarrow$ aggregation

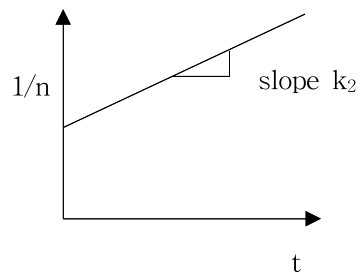
- Kinetics of coagulation

n : 단위부피당 입자수

$$-\frac{dn}{dt} = k_2 n \cdot n = k_2 n^2 \quad n=n_0 \quad \text{at} \quad t=0$$

$$-\int_{n_0}^n \frac{dn}{n^2} = \int_0^t k_2 dt$$

$$1/n - 1/n_0 = k_2 t$$



※ Coalter counter

: 입자가 흐르면서 두 전극사이의 전류변화가 생김
거기서 입자수 측정

- Systems containing lyophilic material

Solvation : solvent 분자들이 입자표면에 흡착되어 한입자로 간주되는 현상

Hydration : solvent가 H_2O 인 경우

- Ion의 hydration \Rightarrow surface charge density에 비례

Bare ionic size : $Li^+ < Na^+ < K^+ < Cs^+$

Surface charge density : $Li^+ > Na^+ > K^+ > Cs^+$

Hydrated ionic size : $Li^+ > Na^+ > K^+ > Cs^+$

※ 입자의 potential $E \downarrow \Rightarrow$ 쉽게 aggregate가 일어난다

- Salting-out : 용해된 물질이 salt의 첨가에 의하여 석출되는 현상

Salting-in : 석출된 물질이 salt의 첨가에 의하여 투명한 용액으로 다시 용해되는 현상

Salting-out power $\Rightarrow Mg^{2+} > Ca^{2+} > Sr^{2+} > Ba^{2+} > Li^+ > Na^+ > K^+$

Salting-in $\Rightarrow NH_4NO_3$

Chap.9 Rheology

물질의 흐름과 변형을 다루는 학문

\Rightarrow rubber, plastic, food, colloid 용액

- Colloid system의 Rheology에 영향을 미치는 factor

① dispersion medium의 점도

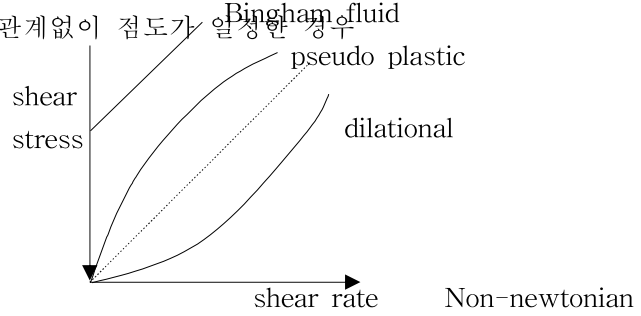
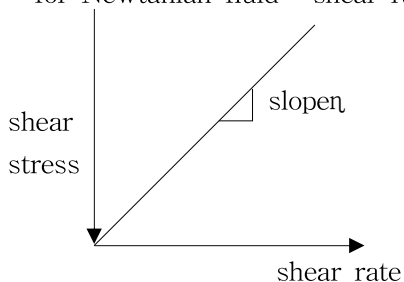
② particle의 수

③ particle size, 모양

④ particle-particle 사이의 영향

- Viscosity : 흐름에 저항하는 정도

for Newtonian fluid : shear rate에 관계없이 점도가 일정한 경우



- Viscosity 측정

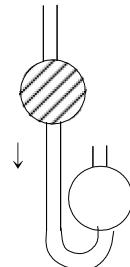
- ① Capillary flow method

$$\eta = \rho k t$$

$$\eta_1 = \rho_1 k t_1$$

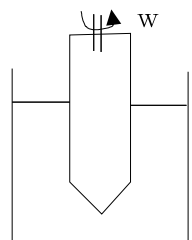
$$\eta_2 = \rho_2 k t_2$$

$$\therefore \frac{\eta_1}{\eta_2} = \frac{\rho_1 t_1}{\rho_2 t_2}$$



- ② Rotational method

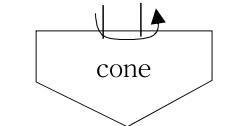
$$\eta = \frac{k\Theta}{W}$$



- ③ Cone-plate viscometer

η_0 : viscosity of dispersion medium

η : colloid 용액의 절도



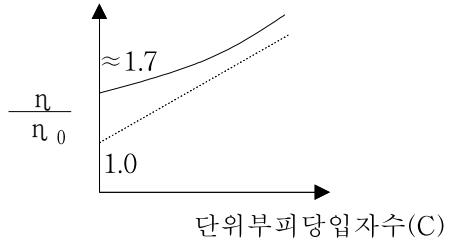
$$\frac{\eta}{\eta_0} = \text{relative viscosity}$$

$$\lim_{c \rightarrow 0} \frac{\eta}{\eta_0} = \text{intrinsic viscosity}$$

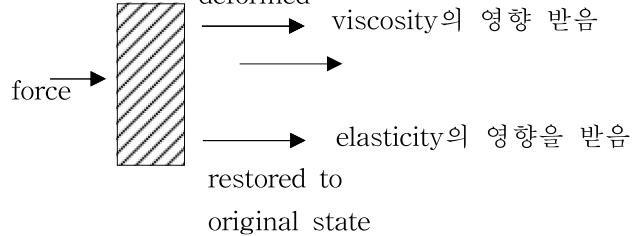
for spherical dilute colloidal system

$$\eta = \eta_0 (1 + 2.5\Phi) \quad \Phi < 0.02 \text{인 경우}$$

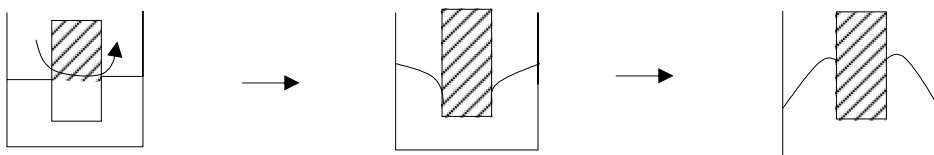
$$\Phi = \frac{\text{particle의 부피}}{\text{medium의 부피}}$$



- Viscoelasticity



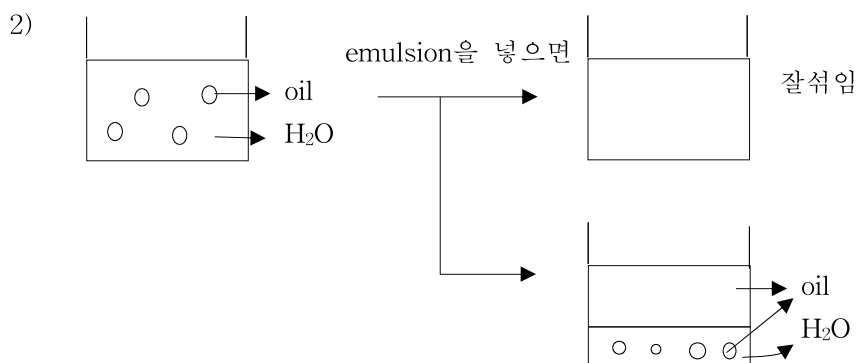
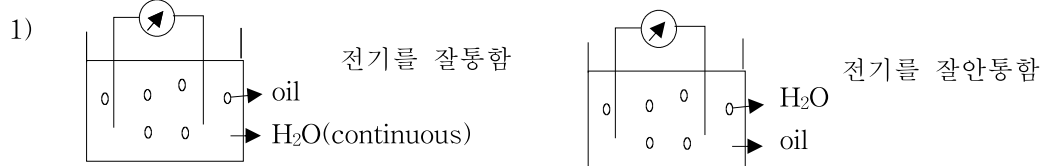
- Weissenburg Effect(polymer)



Chap 10. Emulsion & Foam

서로 섞이지 않는 유체들에서 하나의 유체가 다른 유체에 drop 형태로 dispersion

- Methods to determine the structure of emulsion

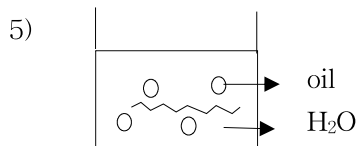


3) $\eta = \eta_0(1+2.5\Phi)$

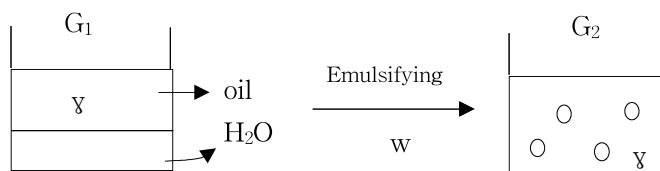
o/w ; oil첨가 점도 ↑, H₂O첨가 점도 ↓

- 4) 수용성 dye하면 염색 good

ion성 " " bad



- Emulsifying Agents : variable, 섞어서 쓰기도 함



yA_1

interfacial area ↑ yA_2

1) $W = y(A_2 - A_1) = y\Delta A$



$G_1 < G_2$ 이므로 방향이 반대 방향으로 ordinary solution

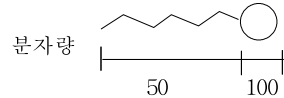
polymeric solution

flocculation : 각각의 성질을 가지고 있다. low energy로도 분산가능
 coagulation : 완전히 하나로 합쳐진 것. high energy가 필요

- HLB Number = $\frac{\text{weight\% of 친수성 group}}{5}$

: 한분자내의 친유성과 친수성의 balance의 상대적 차이를 지수화

$$\text{HLB} = \frac{\frac{100}{150} \times 100}{5}$$



only 친수성 ; HLB=20

only 친유성 ; HLB=0

for nonionic HLB

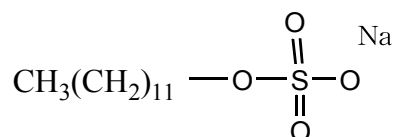


20 친수성, water-soluble

for ionic

$$\text{HLB} = \Sigma(\text{hydrophilic number}) - \Sigma(\text{hydrophobic number}) + 7 \quad (0 \sim 40)$$

ex)



$$\text{HLB} = (-0.475) + (-0.475) \times 11 + 38.7 + 7$$

$$\text{HLB}_{\text{mixture}} = f\text{HLB}_A + (1-f)\text{HLB}_B \quad (f : \text{A의 mole fraction})$$

; 계면활성제는 보통 여러종류 섞어서 많이 사용

HLB values(Bancroft rule)

oil-soluble \Rightarrow w/o emulsion

water-soluble \Rightarrow o/w emulsion (oil in water)

- Emulsification Methods : w 가해주는 방법

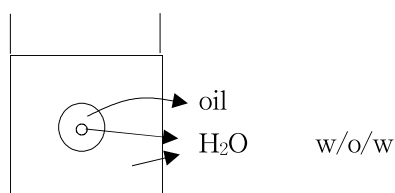
1) Homogenizer : high-speed mixer

2) Colloid mill

3) High pressure homogenizer

식품 원료(물, 기름x)

- Multiple Emulsion



- Rheology of Emulsion

microstructure가 network 형성 : 점도 ↑ for 생산성 cost control

- Application of Emulsion

 - cola

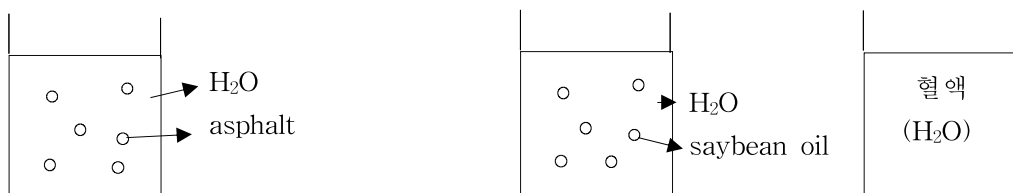
 - paper wax coating

: candle 수용액내에 60°C에서 melting size $1\mu\text{m}$ 로 분산

⇒ 이 emulsion을 종이에 발라서 물증발 시킴

 - 아스팔트 : 점도 ↑

 - medical and pharmaceutical

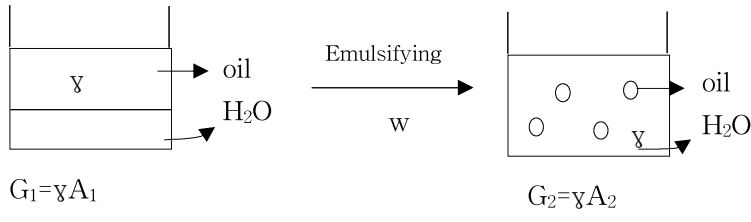


 - Explosion : 단시간내에 다량의 gas생산 (압력 ↑)

- Microemulsion

Emulsion microemulsion : drop size $0.1\mu\text{m}$ 이하, 투명, 열역학적으로 stable
minienulsion

(macro)emulsion : $0.5\mu\text{m}$ 이상, milky, 열역학적으로 unstable



$$\Delta G = \gamma(A_2 - A_1) \quad \gamma \approx 0 \text{ (or negative) } \text{여기 } 0.1\mu\text{m} \text{ 이하로 조개짐}$$

∴ 열역학적으로 stable

emulsion인 경우 $\Delta G > 0$ 으로 unstable

- Potential application of microemulsion

Soil



organic reaction

A와B가 서로 성질이 다를 때

각각 emulsion

만들어서 반응
면적 ↑

